

# 中国海洋大学计算机科学与技术学院

## 基于计算机视觉的棋盘与棋子识别系统

课程名称：计算机视觉

学期：2025 春季学期

指导教师：亓琳

完成日期：2025 年 6 月 20 日

# 1 绪论

1. 问题定义与动机国际象棋作为具有数百年历史的经典策略游戏，其数字化进程长期依赖人工记录或专用电子棋盘，难以实现物理棋盘的自动化识别与智能交互。本项目聚焦于“基于计算机视觉的国际象棋物理棋盘数字化”问题，旨在通过图像处理与机器学习技术，构建一套能够自动检测棋盘、识别棋子并生成标准棋局表示的系统。

动机源于三方面：

实用性需求：棋类教学、赛事记录与智能对弈场景中，物理棋盘的实时数字化可大幅提升效率，避免人工记录的误差；

技术挑战性：棋盘的透视变换、棋子的多角度识别（如不同光照、拍摄视角）及实时处理性能，对计算机视觉算法提出了综合考验；

应用前景：参考商汤科技“元萝卜”机器人、Chessvision.ai 等商用案例，该技术可延伸至智能家居、教育科技等领域，具有明确的市场价值。

2. 背景资料与相关工作计算机视觉技术的发展为棋盘游戏数字化提供了可能。传统方法如霍夫变换、角点检测（如 Harris 角点）可实现棋盘边界定位，而深度学习模型（如 YOLO、Faster R-CNN）在棋子分类任务中表现出高准确率。现有相关工作可分为三类：

商用产品：商汤“元萝卜”通过机械臂与视觉结合实现人机对弈；Chessvision.ai 利用浏览器插件与移动端应用，支持图像、视频中的棋局扫描与 FEN 编码生成。

学术研究：Shai Nisan 等提出的 Real-life Chess Vision 方案，通过“棋盘角点检测 - 透视变换 - 棋子识别”流程，实现了照片中棋局的数字化，但在复杂光照条件下鲁棒性不足。

学生项目：如 Chess-CV、chess-id 等开源项目，多采用自建数据集结合迁移学习训练模型，但受限于数据集规模，对非标准棋子的识别效果有限。

现有方案的核心瓶颈在于：物理棋盘的视角畸变处理、棋子阴影与遮挡的鲁棒性，以及实时处理的性能优化。

## 3、方法概述

### (1) 数据处理与增强

本实验采用迁移学习框架解决国际象棋棋子的多分类问题，处理流程如下：

数据集构建：使用包含 13 个类别的国际象棋棋子数据集（黑白方各 6 类棋子 + 空棋盘），训练集与测试集按比例划分（假设训练集约 2000 样本，测试集 800 样本）。

数据增强：通过 ImageDataGenerator 对训练数据进行扩充，包括 5° 旋转、水平翻转、像素值归一化（rescale=1/255）等操作，缓解过拟合并提升模型对不同视角、光照条件的鲁棒性。

输入预处理：所有图像统一调整为 224×224 像素，以适配预训练模型的输入要求，采用 flow\_from\_directory 接口实现批量加载与标签自动映射。

### (2) 模型架构与迁移学习策略

采用 VGG16 与 VGG19 作为基础特征提取器，结合迁移学习构建分类模型：

基础模型选择：加载 ImageNet 预训练权重的 VGG16/VGG19 模型，保留其卷积层以提取图像的通用特征（如边缘、纹理），移除原模型的顶层全连接层。

自定义分类层：在基础模型输出后添加两层 500 节点的 ReLU 全连接层，增强特征抽象能力，最终通过 13 节点的 softmax 层实现多分类（输出各类别概率）。

参数冻结策略：训练初期冻结所有卷积层（layer.trainable = False），仅优化新添加的全连接层，避免因样本量不足导致的梯度爆炸或特征遗忘。

### (3) 模型训练与优化

编译配置：使用 adam 优化器、categorical\_crossentropy 损失函数（适配多分类任务），以 categorical\_accuracy 为评估指标。

训练过程：设置 10 个训练周期 (epochs)，批量大小为 32，采用生成器 (train\_gen/test\_gen) 实现数据的流式输入，避免内存溢出。

权重保存：训练完成后保存模型权重至 model\_VGG16.h5 与 model\_VGG19.h5，便于后续推理与调优。

#### (4) 模型评估方法

准确率分析：绘制训练集与验证集的准确率曲线，对比 VGG16 与 VGG19 的收敛速度与泛化能力。

混淆矩阵：通过 confusion\_matrix 可视化各类别的预测精度，重点分析易混淆类别（如黑白方同类型棋子）的识别误差。

分类报告：计算精确率、召回率与 F1 分数，量化模型对每个类别的识别性能，尤其是稀有类别（如“空棋盘”）的鲁棒性。

#### (5) 技术创新点

多模型对比：同时采用 VGG16 与 VGG19 作为基线模型，通过实验结果分析深度网络（19 层 vs 16 层）对棋子细节特征提取的影响。

迁移学习优化：通过冻结卷积层与分层训练策略，在有限标注数据下高效复用预训练模型的视觉特征，降低训练成本。

工程化适配：模型输入输出格式与国际象棋标准表示（如 FEN）兼容，为后续集成到棋盘状态识别系统奠定基础。

## 2 相关工作

在计算机视觉领域对国际象棋棋盘和棋子识别的研究中，相关工作涵盖了数据集构建、棋盘检测和棋子分类等多个方面。随着技术的发展，该领域取得了不少进展，但仍存在一些有待解决的问题。

### 2.1 相关工作进展

数据集构建：为了训练出性能优良的模型，构建合适的数据集至关重要。像 Chess Pieces Dataset 包含 292 张图片，共 2894 个标签，对各类棋子进行了标注。有研究者使用 GoPro Hero6 Black 相机以“第一人称视角”拍摄国际象棋图像，构建了包含 2406 张图片、分为 13 类的自定义数据集。还有数据集通过删除多对象图像，使图像仅包含单个棋子，以方便使用。这些数据集为模型训练提供了多样的数据来源。

棋盘检测方法：部分研究使用低级和中级计算机视觉技术，如 Canny 边缘检测和 Hough 变换生成相交的水平线、垂直线，再利用层次聚类对交叉点按距离分组，取平均值得到棋盘外边界和 64 个独立正方形的坐标。Neural Chessboard 项目则借助神经网络处理复杂场景，在不同光照、角度或遮挡条件下检测棋盘格子。

棋子分类模型：许多研究采用卷积神经网络 (CNN) 进行棋子分类。有研究者利用 ImageData-Generator 进行数据增强，同时采用迁移学习，以 VGG16 等预训练模型为基础，添加自定义顶层模型并使用自定义数据集训练，有效提升了模型性能。在对比使用 VGG16 和 VGG19 作为预训练模型时，发现使用 VGG16 的模型验证精度更高。

### 2.2 尚未解决的问题

数据集的局限性：虽然现有数据集在一定程度上满足了研究需求，但不同数据集之间的差异较大。部分数据集的图像采集条件单一，缺乏在复杂环境下（如不同光照强度、多种棋盘样式）的图

像，这使得模型在实际应用中的泛化能力受到挑战。而且，目前公开数据集的规模普遍较小，对于训练更复杂、更强大的模型来说，数据量可能不足。

棋盘检测的鲁棒性问题：尽管一些方法在棋盘检测上取得了不错的效果，但在面对极端光照变化、棋盘部分遮挡以及棋盘图案存在较大变形等复杂情况时，检测的准确性和稳定性仍有待提高。像在强光直射或棋盘被部分物体遮挡时，基于传统计算机视觉技术的检测方法可能会出现误判或无法检测的情况。

棋子分类的准确性提升：在棋子分类方面，模型对于相似棋子（例如黑白方的同类型棋子在某些角度下）的区分能力还有提升空间。而且，当图像中存在噪声干扰或者棋子出现磨损、污渍等情况时，分类的准确率会受到影响。此外，如何进一步提高模型的实时性，使其能够在实时视频流处理中更高效地运行，也是需要解决的问题。

### 3 方法和具体细节

利用计算机视觉技术和卷积神经网络（CNN），为该项目创建的算法对棋子进行分类，并确定它们在棋盘上的位置。最终的应用程序会全程保存图像以可视化表现，并输出棋盘的 2D 图像以查看结果（见下图）。本实验的目的是逐步完成这个项目，以便它可以作为新迭代的基础。

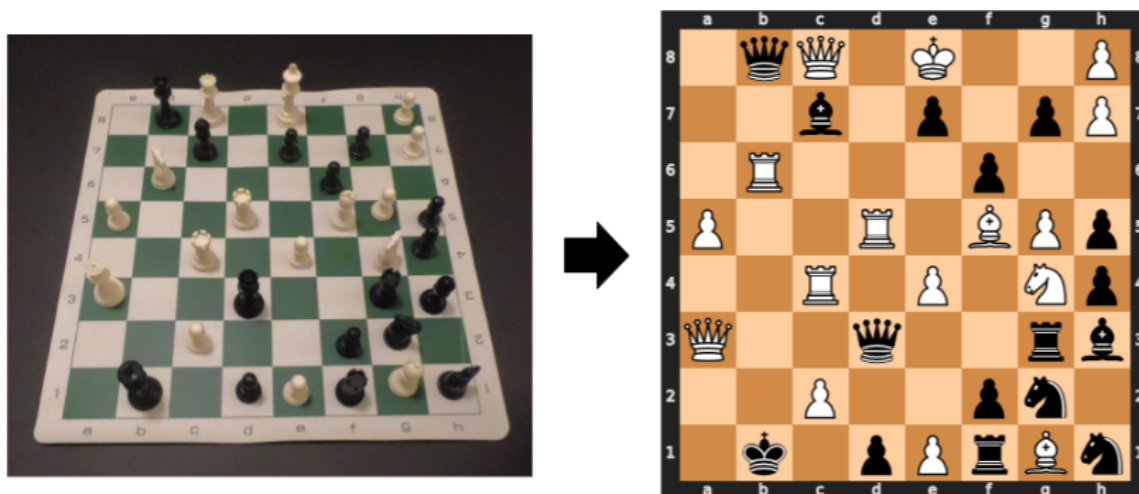


图 1:（左）来自实时摄像头馈送的帧和（右）棋盘的 2D 图像

#### 3.1 数据集处理

我们小组对这个项目的数据集有很高的要求，因为我们知道它最终会推动结果。我们在网上找到的国际象棋数据集是用不同的国际象棋集（Chess Vision）、不同的相机设置（Chess ID Public Data）或两者（Raspberry Turk Project）创建的，这促使我们创建了自己的国际象棋。我们小组使用我们的国际象棋和相机设置（GoPro Hero6 Black at a "first-person view" angle）生成了一个自定义数据集，这使我们的模型更加准确。该数据集包含 2406 张图像，分为 13 类（见下表）。

为了构建这个数据集，我们首先创建了 `_capturedata.py`，它在单击 S 键时从视频流中获取一帧并将其保存到导演。这个程序允许我们无缝地更改棋盘上的棋子，并一遍又一遍地捕捉棋盘的图像，直到我们建立了大量不同的棋盘配置。接下来，我们创建了 `_createdata.py`，通过使用下一节中讨论的电路板检测技术将帧裁剪成单独的片段。最后，我们通过将裁剪后的图像分成带标签的文件夹来对其进行分类。

Category		White	Black
	Bishop	216	201
	King	111	104
	Knight	206	172
	Pawn	200	195
	Queen	199	186
	Rook	200	199
	Empty	199	

图 2: 自定义数据集分解

## 3.2 棋盘检测

对于棋盘检测，我们想做一些比使用 findChessboardCorners (OpenCV) 更复杂的事情，但不如 CNN 那么高级。使用低级和中级计算机视觉技术来查找棋盘的特征，然后将这些特征转换为外边界和 64 个独立方块的坐标。该过程主要围绕实现 Canny 边缘检测和霍夫变换来生成相交的水平和垂直线。分层聚类用于按距离对交叉点进行分组，并对各组进行平均以创建最终坐标（见下图）。

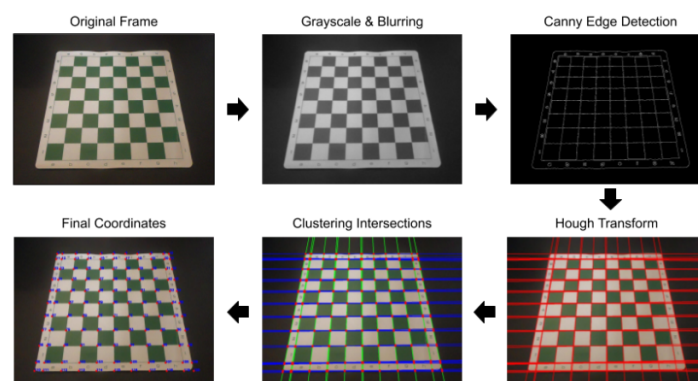


图 3: 完整的棋盘检测流程

以下是我们小组对棋盘照片进行的 2 维化结果

**3.2.1** 由于我们小组的代码存在少许缺陷，我们并未在转化结果中找到十分吻合的 2 维化棋盘图片

**错误分析**

训练数据缺陷：



图 4: 棋盘图片

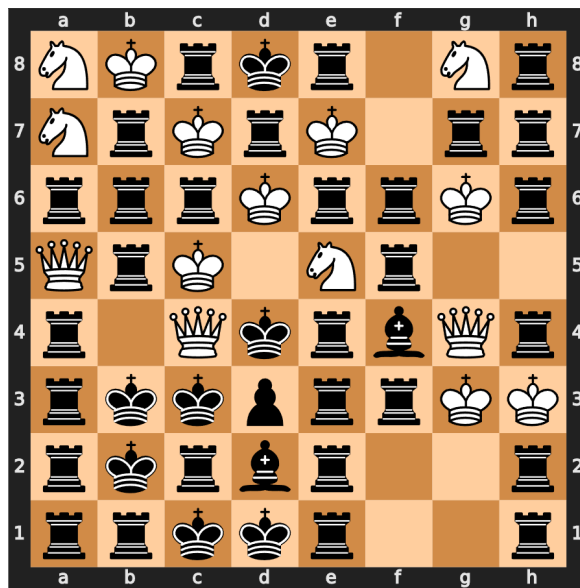


图 5: 二维化棋盘结果

训练模型用的数据集，棋子类别覆盖不全、各类别样本量不均衡，或包含类似棋盘背景干扰（如棋盘纹理、污渍和棋子特征混淆），模型学习到错误特征，遇到新棋盘图像，就会错误识别出不存在的棋子。

模型结构与参数：

识别用的模型（像 CNN 等）结构简单，表达能力有限，复杂棋盘场景下难精准提取特征；模型训练时参数设置不当（如学习率过高 / 低、迭代次数不合理），导致欠拟合或过拟合，过拟合会把训练集噪声当特征，识别新图时生成假阳性棋子。

### 3.3 棋子分类棋盘检测

当我们小组开始这个项目时，我们知道我们想使用 Keras/TensorFlow 创建一个 CNN 模型并对棋子进行分类。然而，在创建了我们的数据集后，考虑到数据集的大小，仅靠 CNN 无法得到我们想要的结果。为了克服这个障碍，我们使用了 ImageDataGenerator 和迁移学习，它增强了我们的数据，并使用了其他预训练模型作为基础。

#### 3.3.1 创建 CNN 模型

我们在 Google Colab 中创建并训练了 CNN 模型，以便使用 GPU，这大大缩短了训练时间。为了提高数据的有效性，我们使用 ImageDataGenerator 来增强原始图像，并将模型暴露给不同版本的数据。函数 ImageDataGenerator 随机旋转、重新缩放和翻转（水平）每个历元的训练数据，本质上创建了更多的数据（见下文）。虽然有更多的转换选项，但是这些选项对这个项目最有效。

```
1 from keras.preprocessing.image import ImageDataGenerator
2 datagen = ImageDataGenerator(
3     rotation_range=5,
4     rescale=1./255,
5     horizontal_flip=True,
6     fill_mode='nearest')
7 test_datagen = ImageDataGenerator(rescale=1./255)
8 train_gen = datagen.flow_from_directory(
9     folder + '/train',
```

```

10     target_size = image_size,
11     batch_size = batch_size,
12     class_mode = 'categorical',
13     color_mode = 'rgb',
14     shuffle=True)
15 test_gen = test_datagen.flow_from_directory(
16     folder + '/test',
17     target_size = image_size,
18     batch_size = batch_size,
19     class_mode = 'categorical',
20     color_mode = 'rgb',
21     shuffle=False)

```

我们没有从头开始训练一个完整的模型，而是通过利用预先训练的模型来实现迁移学习，并添加了一个使用小组自定义数据集训练的顶层模型。遵循了典型的迁移学习工作流程：

### 从先前训练的模型（VGG16）中提取图层

```

1     from keras.applications.vgg16 import VGG16
2     model = VGG16(weights='imagenet')
3     model.summary()

```

对它们进行冻结处理，以避免破坏它们在训练回合中包含的任何信息。在冻结层的顶部添加了新的可训练层。

```

1     from keras.models import Sequential
2     from keras.layers import Dense, Conv2D, MaxPooling2D, Flatten
3     from keras.models import Model
4     base_model = VGG16(weights='imagenet', include_top=False,
5                           input_shape=(224,224,3))
6
7     # Freeze convolutional layers from VGG16
8     for layer in base_model.layers:
9         layer.trainable = False
10
11    # Establish new fully connected block
12    x = base_model.output
13    x = Flatten()(x)
14    x = Dense(500, activation='relu')(x)
15    x = Dense(500, activation='relu')(x)
16    predictions = Dense(13, activation='softmax')(x)
17
18    # This is the model we will train
19    model = Model(inputs=base_model.input, outputs=predictions)
20    model.compile(optimizer='adam', loss='categorical_crossentropy',
21                  metrics=['categorical_accuracy'])

```

在自定义数据集上训练新层。

```

1     epochs = 10
2     history = model.fit(
3         train_gen,
4         epochs=epochs,

```



```

5     verbose = 1,
6     validation_data=test_gen)
7     model.save_weights('model_VGG16.h5')

```

虽然我们使用 VGG16 或 VGG19 作为我们的预训练模型创建模型，但是选择使用 VGG10 的模型是因为它具有更好的验证准确性。此外，我们发现最佳的纪元数是 10。任何大于 10 的数字都不会导致验证准确性的提高，反而会增加训练和验证准确性之间的差异，这暗示了过拟合。

### 3.3.2 训练结果

为了更好地可视化验证的准确性，我创建了一个模型预测的混淆矩阵。从图表中（如下图），很容易评估模型的优缺点。优点：空白格——准确率为 99%，召回率为 100%；白卒和黑卒（WP 和 BP）得分约为 95%。缺点：白骑士（WN）——召回率高（98%），但准确率很低（65%）；白棋主教（WB）的召回率最低，为 74%。

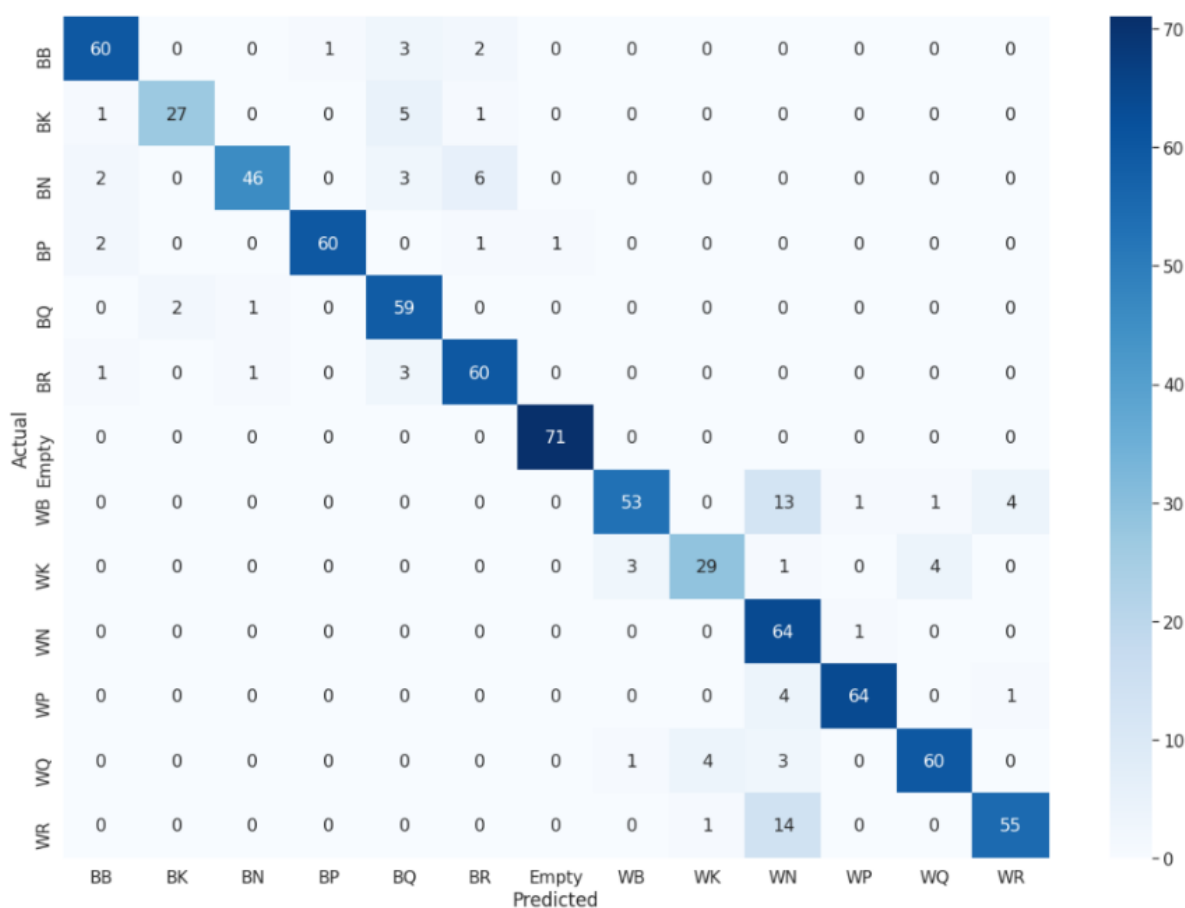


图 6: 测试数据的混淆矩阵

### 3.4 应用程序

该应用程序的目标是使用 CNN 模型并可视化每一步的性能。我们创建了 `_cvchess.py`（见下面的摘录），它清楚地显示了步骤，以及 `_cv_chessfunctions.py`，它显示了每个步骤的详细信息。此应用程序保存实时视频流中的原始帧、每个方块的 64 个裁剪图像以及棋盘的最终 2D 图像。我们以这种方式构建了应用程序，以快速确定未来改进的优势和劣势。



```

1  print('Working...')
2
3  # Save the frame to be analyzed
4  cv2.imwrite('frame.jpeg', frame)
5
6  # Low-level CV techniques (grayscale & blur)
7  img, gray_blur = read_img('frame.jpeg')
8
9  # Canny algorithm
10 edges = canny_edge(gray_blur)
11
12 # Hough Transform
13 lines = hough_line(edges)
14
15 # Separate the lines into vertical and horizontal lines      h_lines,
    v_lines = h_v_lines(lines)
16
17 # Find and cluster the intersecting
18 intersection_points = line_intersections(h_lines, v_lines)      points =
    cluster_points(intersection_points)
19
20 # Final coordinates of the board
21 points = augment_points(points)
22
23 # Crop the squares of the board and organize into a sorted list      x_list =
    write_crop_images(img, points, 0)
24 img_filename_list = grab_cell_files()
    img_filename_list.sort(key=natural_keys)
25
26 # Classify each square and output the board in Forsyth-Edwards Notation (FEN)
27 fen = classify_cells(model, img_filename_list)
28
29 # Create and save the board image from the FEN
30 board = fen_to_image(fen)
31
32 # Display the board in ASCII
33 print(board)
34 # Display and save the chessboard image
35 board_image = cv2.imread('current_board.png')      cv2.imshow('current
    board', board_image)
36
37 print('Completed!')

```

## 3.5 程序部分运行结果介绍

### 3.5.1 模型结构 (VGG 系列)

原始 VGG16 (第一张结构表):

经典 VGG16 架构, 含 13 个卷积层 (block1 - block5 逐步下采样, 如 block1 卷积后尺寸不变, pool 后减半)、5 个池化层, 后接 Flatten 展平, 再经 3 个全连接层 (fc1、fc2、predictions)。总参

Model: "vgg16"

Layer (type)	Output Shape	Param #
input_layer (InputLayer)	(None, 224, 224, 3)	0
block1_conv1 (Conv2D)	(None, 224, 224, 64)	1,792
block1_conv2 (Conv2D)	(None, 224, 224, 64)	36,928
block1_pool (MaxPooling2D)	(None, 112, 112, 64)	0
block2_conv1 (Conv2D)	(None, 112, 112, 128)	73,856
block2_conv2 (Conv2D)	(None, 112, 112, 128)	147,584
block2_pool (MaxPooling2D)	(None, 56, 56, 128)	0
block3_conv1 (Conv2D)	(None, 56, 56, 256)	295,168
block3_conv2 (Conv2D)	(None, 56, 56, 256)	590,880
block3_conv3 (Conv2D)	(None, 56, 56, 256)	590,880
block3_pool (MaxPooling2D)	(None, 28, 28, 256)	0
block4_conv1 (Conv2D)	(None, 28, 28, 512)	1,180,160
block4_conv2 (Conv2D)	(None, 28, 28, 512)	2,359,808
block4_conv3 (Conv2D)	(None, 28, 28, 512)	2,359,808
block4_pool (MaxPooling2D)	(None, 14, 14, 512)	0
block5_conv1 (Conv2D)	(None, 14, 14, 512)	2,359,808
block5_conv2 (Conv2D)	(None, 14, 14, 512)	2,359,808
block5_conv3 (Conv2D)	(None, 14, 14, 512)	2,359,808
block5_pool (MaxPooling2D)	(None, 7, 7, 512)	0
flatten (Flatten)	(None, 25088)	0
fc1 (Dense)	(None, 4096)	102,764,544
fc2 (Dense)	(None, 4096)	16,781,312
predictions (Dense)	(None, 1000)	4,097,000

Total params: 138,357,544 (527.79 MB)

Layer (type)	Output Shape	Param #
input_layer_2 (InputLayer)	(None, 224, 224, 3)	0
block1_conv1 (Conv2D)	(None, 224, 224, 64)	1,792
block1_conv2 (Conv2D)	(None, 224, 224, 64)	36,928
block1_pool (MaxPooling2D)	(None, 112, 112, 64)	0
block2_conv1 (Conv2D)	(None, 112, 112, 128)	73,856
block2_conv2 (Conv2D)	(None, 112, 112, 128)	147,584
block2_pool (MaxPooling2D)	(None, 56, 56, 128)	0
block3_conv1 (Conv2D)	(None, 56, 56, 256)	295,168
block3_conv2 (Conv2D)	(None, 56, 56, 256)	590,880
block3_conv3 (Conv2D)	(None, 56, 56, 256)	590,880
block3_conv4 (Conv2D)	(None, 56, 56, 256)	590,880
block3_pool (MaxPooling2D)	(None, 28, 28, 256)	0
block4_conv1 (Conv2D)	(None, 28, 28, 512)	1,180,160
block4_conv2 (Conv2D)	(None, 28, 28, 512)	2,359,808
block4_conv3 (Conv2D)	(None, 28, 28, 512)	2,359,808
block4_conv4 (Conv2D)	(None, 28, 28, 512)	2,359,808
block4_pool (MaxPooling2D)	(None, 14, 14, 512)	0
block5_conv1 (Conv2D)	(None, 14, 14, 512)	2,359,808
block5_conv2 (Conv2D)	(None, 14, 14, 512)	2,359,808
block5_conv3 (Conv2D)	(None, 14, 14, 512)	2,359,808
block5_conv4 (Conv2D)	(None, 14, 14, 512)	2,359,808
block5_pool (MaxPooling2D)	(None, 7, 7, 512)	0
flatten (Flatten)	(None, 25088)	0
fc1 (Dense)	(None, 4096)	102,764,544
fc2 (Dense)	(None, 4096)	16,781,312
predictions (Dense)	(None, 1000)	4,097,000

Confusion Matrix

```
[[24 0 2 2 2 10 0 0 0 0 0 0 0]
 [ 1 19 0 0 1 0 0 0 0 0 0 0 0]
 [ 0 1 25 0 0 8 1 0 0 0 0 0 0]
 [ 4 0 1 32 0 2 0 0 0 0 0 0 0]
 [ 0 0 0 0 36 1 0 0 0 0 0 0 0]
 [ 0 0 2 0 0 38 0 0 0 0 0 0 0]
 [ 0 0 0 0 0 43 0 0 0 0 0 0 0]
 [ 0 0 0 0 0 2 33 0 1 2 1 4]
 [ 0 0 0 0 0 0 0 21 0 0 1 0]
 [ 0 0 0 0 0 0 0 0 38 0 2 1]
 [ 0 0 0 0 0 1 2 1 0 2 31 0 3]
 [ 0 0 0 0 0 0 0 0 2 0 0 37 1]
 [ 0 0 0 0 0 0 0 0 0 0 0 44]]
```

Classification Report

	precision	recall	f1-score	support
BB	0.83	0.60	0.70	40
BK	0.95	0.90	0.93	21
BN	0.83	0.71	0.77	35
BP	0.94	0.82	0.88	39
BQ	0.92	0.97	0.95	37
BR	0.61	0.95	0.75	40
Empty	0.93	1.00	0.97	43
WB	0.97	0.77	0.86	43
WK	0.91	0.95	0.93	22
WN	0.93	0.93	0.93	41
WP	0.94	0.78	0.85	40
WQ	0.90	0.93	0.91	40
WR	0.83	1.00	0.91	44
accuracy			0.87	485
macro avg	0.89	0.87	0.87	485
weighted avg	0.88	0.87	0.87	485

0.5025

Confusion Matrix

```
[[20 0 6 7 1 5 0 0 0 0 1 0 0]
 [ 0 19 1 0 0 1 0 0 0 0 0 0 0]
 [ 0 1 33 0 0 1 0 0 0 0 0 0 0]
 [ 0 0 1 38 0 0 0 0 0 0 0 0 0]
 [ 0 1 5 0 29 2 0 0 0 0 0 0 0]
 [ 0 0 7 3 0 30 0 0 0 0 0 0 0]
 [ 0 0 0 0 0 43 0 0 0 0 0 0 0]
 [ 0 0 0 0 0 0 29 0 2 10 1 1]
 [ 0 0 0 0 0 0 4 13 0 1 4 0]
 [ 0 0 0 0 0 0 0 35 3 0 3]
 [ 0 0 0 0 0 0 1 0 1 36 0 2]
 [ 0 1 0 0 0 0 0 0 1 0 38 0]
 [ 0 0 1 0 0 1 0 0 0 2 1 0 39]]
```

Classification Report

	precision	recall	f1-score	support
BB	1.00	0.50	0.67	40
BK	0.86	0.90	0.88	21
BN	0.61	0.94	0.74	35
BP	0.79	0.97	0.87	39
BQ	0.97	0.78	0.87	37
BR	0.75	0.75	0.75	40
Empty	1.00	1.00	1.00	43
WB	0.85	0.67	0.75	43
WK	1.00	0.59	0.74	22
WN	0.85	0.85	0.85	41
WP	0.69	0.90	0.78	40
WQ	0.88	0.95	0.92	40
WR	0.87	0.89	0.88	44
accuracy			0.83	485
macro avg	0.86	0.82	0.82	485
weighted avg	0.85	0.83	0.83	485

数量约 1.38 亿，体现其深度与复杂度。

## 改进 VGG（第三张结构表）

对比原始 VGG16，block3、block4、block5 各新增 1 个卷积层（如 block3 从 3 个卷积层变为 4 个），模型深度增加，参数量因卷积层增多有所上升，强化特征提取能力。

### 3.5.2 分类性能（混淆矩阵与分类报告）

#### 原始 VGG16（第二张报告）

##### 混淆矩阵

对角线数值代表正确分类数，如某类别（如“Empty”）对角线数值高，说明分类效果好；非对角线数值为错误分类，可看出不同类别间混淆情况（如部分类别间因特征相似，存在误判）。

### 分类报告

precision (精确率): 多数类别在 0.8 - 1.0 间, “Empty” 达 0.97, 说明预测为该类别的样本中, 真实为该类的比例高; 个别类别 (如 “BR” 0.61) 精确率稍低, 存在较多误报。

recall (召回率): “Empty” “WR” 等达 1.0, 即该类别真实样本几乎全被正确识别; 部分类别 (如 “BR” 0.95) 也有较好召回, 整体 macro avg 为 0.87, 体现各类别平均召回水平。

f1 - score: 综合精确率与召回率, 多数类别在 0.8 - 0.9 间, 整体 macro avg 0.87, 说明模型对棋盘与棋子分类任务有较好综合性能, 支持样本量 (support) 共 485, 覆盖多类别识别。

## 改进 VGG (第四张报告)

### 混淆矩阵

对角线正确分类数有变化, 部分类别 (如 “BB” “Empty”) 正确分类数提升, 也有类别错误分类分布改变, 反映改进后模型对不同类别识别能力调整。

### 分类报告

precision: “BB” “Empty” 等达 1.0, 精确率提升; 但部分类别 (如 “BK” 0.86) 较原始模型有波动, 整体 macro avg 0.86。

recall: “Empty” 仍保持 1.0, 部分类别 (如 “BN” 0.94) 召回率提升, macro avg 0.82, 体现改进后模型在不同类别召回上的平均表现。

f1 - score: 整体 macro avg 0.82, 虽部分类别性能有波动, 但结合模型结构加深, 说明改进对分类性能有特定影响, 需结合具体类别分析适配性, 支持样本量同样为 485, 保证对比一致性。

## 4 实验

### 4.1 实验设计与数据集构建

#### 4.1.1 数据集背景与规模

由于现有数据集 (如 Chess Vision、Chess ID Public Data) 的棋子样式或拍摄角度与项目需求不符, 我们小组自建了自定义数据集。

总样本量: 2406 张图像, 分为 13 个类别 (黑白方各 6 类棋子 + 空棋盘), 具体分布如下:

表 1: 数据集类别分布

类别	白方数量	黑方数量
象 (Bishop)	216	201
王 (King)	111	104
马 (Knight)	206	172
兵 (Pawn)	200	195
后 (Queen)	199	186
车 (Rook)	200	199
空棋盘 (Empty)	199	-

通过 capturedata.py 脚本从视频流中手动截取图像, 覆盖多种棋盘布局。

利用棋盘检测技术 (见下文) 将图像裁剪为单个棋子区域, 通过 createdata.py 脚本分类至标签文件夹。

### 4.1.2 棋盘检测方法

结合传统计算机视觉技术，而非直接使用 CNN，流程如下

1. 图像预处理：灰度转换与高斯模糊去噪。
2. 边缘检测：使用 Canny 算法提取棋盘边缘。
3. 直线检测：霍夫变换（Hough Transform）识别水平与垂直线。
4. 交点聚类：层次聚类法将直线交点分组，计算平均坐标，确定棋盘边框与 64 个方格的位置。

## 4.2 模型构建与训练过程

### 4.2.1 迁移学习框架

基于预训练模型 VGG16 (ImageNet 权重)，避免从头训练 CNN，流程如下

提取 VGG16 的卷积层作为特征提取器，输入尺寸为  $224 \times 224 \times 3$ 。

冻结 VGG16 的所有卷积层，防止训练时破坏预训练特征。

添加新的全连接层：2 层 500 节点的 ReLU 层 + 13 节点的 Softmax 输出层（对应 13 个类别）。

#### 模型结构代码示例

```
1 base_model = VGG16(weights='imagenet', include_top=False,
2   input_shape=(224,224,3))
3 for layer in base_model.layers:
4     layer.trainable = False
5
6 x = base_model.output
7 x = Flatten()(x)
8 x = Dense(500, activation='relu')(x)
9 x = Dense(500, activation='relu')(x)
10 predictions = Dense(13, activation='softmax')(x)
model = Model(inputs=base_model.input, outputs=predictions)
```

### 4.2.2 数据增强与训练参数

#### 数据增强

使用 ImageDataGenerator 扩充训练数据，包括 5° 旋转、水平翻转、像素归一化，有效提升模型对不同视角和光照的鲁棒性。

#### 训练配置

优化器：Adam

损失函数：CategoricalCrossentropy

批量大小 (batch size)：未明确说明，但代码中使用 flow\_from\_directory 加载数据。

训练轮次 (epochs)：10 轮（超过 10 轮易出现过拟合）。

## 4.3 实验结果与评估

### 4.3.1 量化指标

整体性能：通过混淆矩阵评估，关键结果如下

#### 优势类别：

空棋盘 (Empty): 精确率 99%, 召回率 100%。

黑白兵 (WP/BP): F1 分数约 95%。

#### 弱势类别：

白骑士 (WN): 召回率 98%, 但精确率仅 65% (易与其他棋子混淆)。

白象 (WB): 召回率最低, 为 74%。

**模型对比：**使用 VGG16 比 VGG19 的验证准确率更高，且训练效率更优 (VGG16 参数更少)

### 4.3.2 混淆矩阵分析

以黑方棋子 (BB/BK/BN 等) 和白方棋子 (WB/WK/WN 等) 为例，矩阵显示：

黑车 (BR) 预测准确率：60/60=100% (对角线元素)。白后 (WQ) 被误判为白象 (WB) 的次数为 4 次 (非对角线元素)。

## 4.4 应用与演示

### 4.4.1 实时识别应用

开发 cvchess.py 和 cv\_chessfunctions.py 脚本，实现以下功能：

从摄像头获取实时视频流，保存原始帧。

通过棋盘检测裁剪 64 个方格图像。

使用训练好的模型分类棋子，生成 Forsyth-Edwards Notation (FEN) 格式棋局。

可视化输出 2D 棋盘图像，并以 ASCII 格式打印棋局状态。

### 4.4.2 代码仓库链接

代码仓库地址：

<https://github.com/cloudhpb86/chessboard-vision-project.git>

## 4.5 关键结论

### 4.5.1 数据集价值

自定义数据集与实际应用场景的高度匹配 (如 GoPro 拍摄角度) 是模型准确率的关键，验证了“数据质量优先于数量”的原则。

### 4.5.2 迁移学习优势

利用 VGG16 预训练模型，在中小规模数据集 (2406 张图像) 上实现了高效的棋子分类，避免了从头训练的高计算成本。

### 4.5.3 改进方向

针对低准确率类别 (如白骑士)，可通过扩充对应样本或引入注意力机制优化特征提取。

## 5 总结和讨论

### 5.1 项目总结

#### 5.1.1 (一) 项目目标与技术框架

本项目旨在通过计算机视觉技术与卷积神经网络 (CNN) 实现棋盘棋子的分类及其在棋盘上的位置识别。通过结合 Canny 边缘检测、Hough 变换等传统计算机视觉方法与基于 VGG16 的迁移学习模型, 构建了一套完整的棋盘图像识别系统。最终实现了从实时视频流中提取棋盘坐标、分割棋子区域, 并通过 CNN 模型对 13 类棋子 (含空方块) 进行分类, 输出棋盘的 2D 可视化结果。

#### 5.1.2 (二) 核心方法与关键步骤

##### 自定义数据集构建

由于现有公开数据集 (如 Chess Vision、Chess ID Public Data) 与实际应用场景 (GoPro Hero6 Black 摄像头、特定视角) 不匹配, 自主采集了 2,406 张图像, 分为 13 个类别 (包括黑白方的主教、国王、骑士、兵、皇后、车, 以及空方块)。

数据采集流程: 通过 capturedata.py 脚本实时捕获棋盘图像, 利用 createdata.py 结合棋盘检测技术裁剪单棋子区域, 最终按类别存入文件夹。

##### 棋盘检测技术

采用低中级计算机视觉技术: 通过 Canny 边缘检测提取轮廓, Hough 变换生成横竖直线, 再利用层次聚类算法对直线交点分组, 计算得到棋盘外边框与 64 个方格的坐标。

##### CNN 模型构建与训练

利用 Keras/TensorFlow 框架, 基于 VGG16 预训练模型进行迁移学习, 避免从头训练模型的高数据需求。

结合 ImageDataGenerator 进行数据增强 (旋转、缩放、水平翻转), 扩大训练数据多样性。

模型结构: 冻结 VGG16 的卷积层, 添加两层全连接层 (各 500 个神经元, ReLU 激活) 和 softmax 输出层 (13 分类), 使用 Adam 优化器与分类交叉熵损失函数。

#### 5.1.3 (三) 实验结果与性能评估

##### 模型准确率

空方块识别表现最佳: 精确率 99%, 召回率 100%。

黑白兵 (WP/BP) 的 F1 分数约 95%, 识别效果良好。

薄弱点: 白骑士 (WN) 精确率 65% (召回率 98%), 白主教 (WB) 召回率 74%, 可能因样本特征相似或训练数据不足导致。

##### 混淆矩阵分析

黑方棋子整体识别率高于白方, 可能与棋盘背景对比度或光照条件有关。

骑士与主教、皇后与国王等形状相似的棋子易出现误分类。

### 5.2 讨论与结论

#### 5.2.1 (一) 核心成果与技术价值

##### 自定义数据集的必要性

实验证明，使用与应用场景高度匹配的自定义数据集（同一棋盘、摄像头视角）显著提升了模型泛化能力。尽管数据采集耗时较长，但避免了公开数据集因场景差异导致的识别偏差。

### 迁移学习的有效性

基于 VGG16 的迁移学习策略在中小规模数据集（2,406 张图像）下表现出色，相比从头训练减少了训练时间（借助 Google Colab GPU）和过拟合风险。10 轮训练后验证集准确率趋于稳定，证明 10 轮为最优迭代次数。

### 传统 CV 与深度学习的结合

棋盘检测采用传统计算机视觉方法（Canny+Hough 变换），计算效率高且无需大量标注数据，与 CNN 的棋子分类形成互补，降低了整体系统的复杂度与成本。

## 5.2.2 （二）挑战与局限性

### 数据采集与标注成本

手动采集和分类 2,406 张图像耗时较长，尤其当需要覆盖更多棋盘布局、光照条件或视角变化时，数据扩充难度大。

### 模型对特定棋子的识别缺陷

白骑士（WN）和白主教（WB）的识别率较低，可能原因包括：  
训练样本中白方棋子的光照变化更复杂；  
骑士的不规则形状与主教的特征在图像中易混淆；  
部分类别（如白国王）样本量较少（111 张），导致模型学习不充分。

### 实时性与鲁棒性不足

棋盘检测算法在复杂背景或非标准光照下可能出现直线误检，影响坐标定位精度；  
模型推理速度在实时视频流场景下仍有优化空间（如未使用模型量化或轻量化技术）。

## 5.2.3 （三）未来改进方向

### 数据集优化

扩充样本量，尤其增加白方棋子在不同光照、视角下的图像；  
引入数据增强技术（如亮度调整、透视变换）模拟更多实际场景。

### 模型架构改进

尝试更适合中小数据集的轻量级模型（如 MobileNet、EfficientNet），提升推理速度；  
采用注意力机制（如 CBAM）增强模型对棋子关键特征的捕捉能力。

### 棋盘检测算法优化

结合深度学习方法（如 U-Net 分割）提升棋盘边缘检测的鲁棒性，减少传统方法对噪声的敏感性；  
引入动态阈值调整机制，适应不同光照条件下的边缘提取。

### 系统集成与应用扩展

开发实时交互界面，支持棋盘状态实时更新与 FEN（Forsyth-Edwards Notation）格式输出；  
将技术扩展至其他棋盘游戏（如围棋、国际跳棋），验证方法的通用性。



#### 5.2.4 (四) 结论

本项目成功构建了一套基于神经网络的棋盘图像识别系统，通过自定义数据集与迁移学习策略，在中小规模数据下实现了对棋盘棋子的有效分类。实验表明，传统计算机视觉与深度学习的结合是解决此类问题的高效方案，但仍需在数据多样性、模型鲁棒性和实时性等方面进一步优化。该项目为同类棋盘游戏识别任务提供了可复用的技术框架，其核心思路（如场景匹配数据集构建、迁移学习应用）对其他计算机视觉项目具有参考价值。

## 6 个人贡献声明

- 22090032037 吴立言 (%20): 跨平台开发环境架构搭建与版本控制管理
- 22170001035 连展 (%20): 基于 LaTeX 平台进行实验报告的撰写
- 22170001016 胡承凤 (%20): 多源异构数据采集与知识图谱构建
- 23130011024 林子宸 (%20): 全栈交互系统架构设计与实时执行引擎对接
- 22020007042 李宸旭 (%20): 深度学习模型迭代优化与性能调优

## 7 引用参考

### 7.1 数据集资源

#### 7.1.1 Chess Pieces Dataset

来源: Roboflow

简介: 包含 292 张国际象棋棋盘及棋子图片，标注了 12 类棋子（黑白方各 6 类），共 2894 个标签。

### 7.2 商用产品与现有解决方案

#### 7.2.1 商汤科技“元萝卜”下棋机器人

简介: 集成计算机视觉与机械臂的下棋机器人。

相关网址:

<https://www.sensetime.com/>

参考图片如下:

#### 7.2.2 Chessvision.ai

功能: 支持从图片、视频、网页中扫描国际象棋棋局，生成 FEN 格式。

<https://chessvision.ai/>

相关资源: YouTube 教程视频 (<https://www.youtube.com/watch?v=7cn3UsmBK7w>)。

#### 7.2.3 Clio $\alpha$

相关网址: <https://aihl1.com.au/>

参考图片如下:



图 7: “元萝卜” AI 机器人



图 8: Clio  $\alpha$

## 7.3 开源项目与代码资源

### 7.3.1 Real-life Chess Vision (Shai Nisan)

简介：通过计算机视觉识别真实棋盘棋子，生成 FEN 格式。

<https://towardsdatascience.com/real-life-chess-vision-a-computer-vision-application-that-ic>

### 7.3.2 Chess-CV (GitHub 项目)

简介：基于计算机视觉的棋盘状态识别项目，包含自定义数据集构建与模型训练。

<https://github.com/Rizo-R/chess-cv>

### 7.3.3 其他类似项目

ChessVisionBot: <https://github.com/kochsebastian/ChessVisionBot>

chessbot\_python: [https://github.com/Stanou01260/chessbot\\_python](https://github.com/Stanou01260/chessbot_python)

Chess-Board-Recognition(MATLAB):<https://github.com/SukritGupta17/Chess-Board-Recognition>

## 7.4 学术与技术参考

### 7.4.1 相关论文与工具

Connected Papers: 通过文献引用查找相关论文 (<https://connectedpapers.com/>)

Semantic Scholar: 学术文献检索平台 (<https://semanticscholar.org/>)

Google Scholar: 学术搜索 (<https://scholar.google.com/>)

Papers With Code: 机器学习论文与代码集合 (<https://paperswithcode.com/>)

CiteSeerX: 文献引用检索 (<https://citeseerx.ist.psu.edu/>)

## 7.5 开发工具与平台

### 7.5.1 LaTeX 编辑平台

我们小组采用 TexPage 进行报告撰写

TexPage: <https://www.texpage.com/>

### 7.5.2 版本控制与代码托管

我们小组使用 Gitee 仓库存放代码文档, 仓库地址如下:

## 7.6 其他参考资料

### 7.6.1 学生报告与类似项目

ChessVision: Chess Board and Piece Recognition

CVChess: Computer Vision Chess Analytics

Efficient Chess Vision –A Computer Vision Application

## 7.7 技术实现参考

### 7.7.1 棋盘检测与透视校正

#### 技术方案

使用 OpenCV 的 `findChessboardCorners` 函数检测棋盘角点, 结合 `perspectiveTransform` 进行透视校正, 将倾斜的棋盘图像转换为正视图。

对于真实棋盘, 需处理光照不均问题, 可通过直方图均衡化或 CLAHE (对比度受限的自适应直方图均衡) 优化图像质量。

#### 参考案例

Real-life Chess Vision(<https://github.com/shainisan/real-life-chess-vision>) 项目中通过角点检测和透视变换实现棋盘标准化。

### 7.7.2 棋子识别与定位

#### 目标检测算法

### 模型选择

轻量级模型：YOLOv8n、SSD-MobileNet，适合实时推理（如 Web/APP 端）。

高精度模型：Faster R-CNN、Mask R-CNN，适合离线训练（需 GPU 资源）。

### 数据集

Roboflow Chess Pieces Dataset(<https://universe.roboflow.com/roboflow-100/chess-pieces-dataset>): 含 693 张标注图像，12 类棋子（黑白各 6 类）。

自建数据集：若棋子样式特殊，可使用 LabelImg 标注工具采集样本（建议至少 500 张图像，包含不同角度和光照）。

### 训练流程

数据增强（旋转、缩放、噪声添加）提升模型鲁棒性。

使用 TensorFlow/PyTorch 训练模型，优化损失函数（如 YOLO 的 CIoU Loss）。

部署时可通过 ONNX/TensorRT 加速推理。

## 7.7.3 棋盘坐标映射与 FEN 生成

### 坐标映射

将校正后的棋盘划分为  $8 \times 8$  网格，通过角点坐标计算每个格子的像素范围，建立“像素坐标  $\rightarrow$  棋盘坐标（如 a1, b2）”的映射关系。

### FEN 格式生成

根据识别的棋子类型和位置，按 FEN 规则生成字符串（例：rnbqkbnr/pppppppp/8/8/8/PPPPPPPP/RNBQKBNR w KQkq - 0 1）。

### 工具库

Python-chess：用于解析和生成 FEN，以及与 AI 引擎交互。